

Министерство образования и науки Российской Федерации

Федеральное государственное бюджетное образовательное учреждение  
высшего образования

ТОМСКИЙ ГОСУДАРСТВЕННЫЙ УНИВЕРСИТЕТ СИСТЕМ  
УПРАВЛЕНИЯ И РАДИОЭЛЕКТРОНИКИ  
(ТУСУР)

Кафедра телевидения и управления (ТУ)

УТВЕРЖДАЮ

Зав. кафедрой ТУ

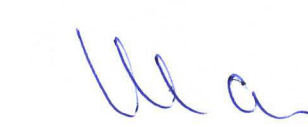
 Т.Р. Газизов

«8» 06 2018 г.

Руководство к лабораторной работе

**ИССЛЕДОВАНИЕ ВОЛЬТ-АМПЕРНЫХ ХАРАКТЕРИСТИК  
ПОЛЕВЫХ ТРАНЗИСТОРОВ**

по дисциплинам: «Физические основы электроники», «Электроника»,  
«Физические основы микроэлектроники», «Основы электроники» для  
студентов направлений подготовки: 11.03.01 (Радиотехника), 11.03.02  
(Инфокоммуникационные технологии и системы связи).

 Разработчики:

 В.Д. Шалимов

«8» 06 2018 г.

 А.М. Заболоцкий

«8» 06 2018 г.

Томск 2018

## Введение

Цель работы – изучение принципа работы полевых транзисторов, исследование статических вольт-амперных характеристик, оценка статических параметров транзисторов.

### 1. Общие положения

#### 1.1 Основы теории полевых транзисторов

Полевыми (униполярными) транзисторами называют такие полупроводниковые приборы, работа которых основана на использовании носителей заряда одного знака: только дырок или только электронов. С этой точки зрения обычные транзисторы, рассмотренные ранее, можно назвать биполярными, так как в них важную роль играют оба типа носителей: инжекция носителей одного знака сопровождается компенсацией образующегося заряда носителями другого знака.

Термин «полевой транзистор» характеризует механизм управления током с помощью электрического поля, а не с помощью тока, как в биполярных транзисторах. В этом отношении униполярные транзисторы имеют много общего с электронными лампами.

Полевые транзисторы имеют несколько разновидностей. Простейшую из них, предложенную в 1952 г. Уильямом Шокли называют полевым транзистором с управляющим *p-n* переходом.

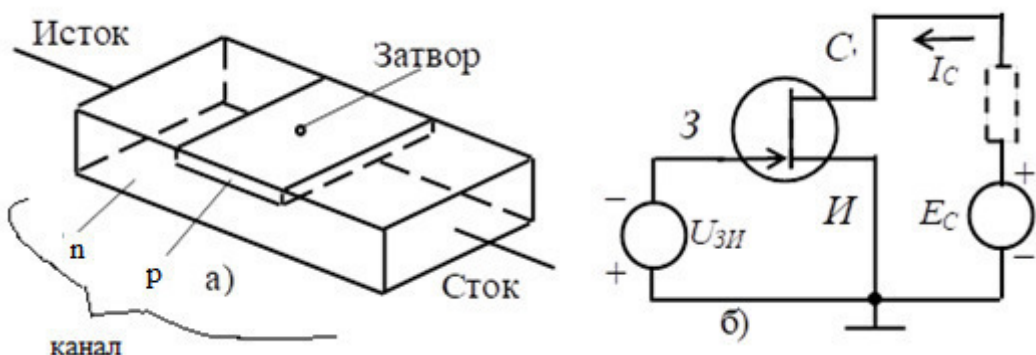


Рис. 1.1 – Конструкция полевого транзистора с управляющим *p-n* переходом – а) и схема его включения – б)

#### 1.2 Полевой транзистор с управляющим *p-n* переходом (унитрон)

На рис. 1.1 $a$  показана упрощенная структура полевого транзистора с управляющим *p-n* переходом, представляющая собой пластинку полупроводника *n* типа, у которой на торцах имеются омические контакты, а на обеих боковых гранях – слои типа

*p*. Последние образуют с пластинкой *p-n* переходы. Слой *p* называется затвором. Два других электрода представляют омические контакты. При этом контакт, от которого движутся основные носители заряда, называется истоком, а тот, к которому они движутся, - стоком. К «*n*» - стоку присоединяют положительный потенциал источника питания  $E_c$  относительно истока, а *p-n* переход затвор-исток работает в обратном направлении. Для этого на затвор подается отрицательное смещение относительно истока, как показано на рис. 1.1б (далее под  $U_{ЗИ}$  будем понимать модуль напряжения).

Принцип действия прост и заключается в том, что при изменении потенциала затвора меняется ширина *p-n* переходов, а значит, и рабочее сечение пластиинки. В результате меняется ее сопротивление и соответственно ток в выходной цепи. Поскольку управляющие *p-n* переходы работают в обратном включении, их сопротивление для входного сигнала велико  $R_{вх} \rightarrow \infty$ , входная мощность мала.

Полезная мощность, определяемая величиной питающего напряжения и соотношением сопротивлений пластиинки канала и нагрузки, может значительно превышать входную мощность. Таким образом, унитрон является усилительным прибором типа управляемого активного сопротивления, причем он имеет много общего с электронной лампой. Это сходство выражается не только в большом входном сопротивлении, но и в том, что при достаточном отрицательном смещении затвора расширяющиеся переходы могут перекрыть все сечение пластиинки; это вызывает отсечку тока в рабочей цепи.

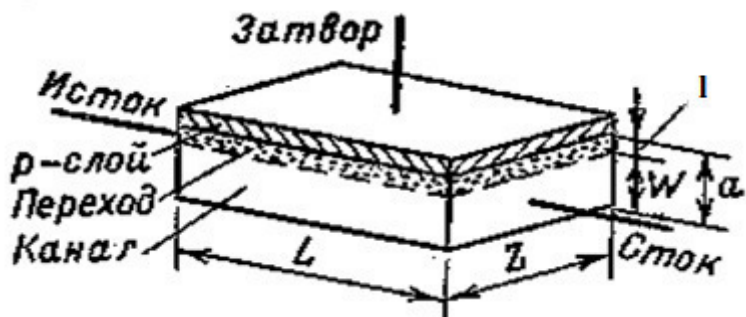


Рис. 1.2 – Структура унитрона

Каналом называют рабочий (переменный) объем пластиинки, расположенный между *p-n* переходами. Пренебрегая «холостыми» участками пластиинки, прилегающими к истоку и стоку, можно представить структуру унитрона в упрощенном виде (рис. 1.2). Обозначим максимальную толщину канала  $a$ , его ширину  $Z$ , длину  $L$ . Пусть  $U_{СИ} = 0$ , тогда канал будет эквипотенциальным слоем и напряжение на *p-n* переходах будет равно  $U_{ЗИ}$  на протяжении

всего канала. Соответственно в любой точке ширина перехода равна  $\ell$ , а толщина канала  $w = a - 2\ell$ .

Подставляя « $w$ » выражение для ширины перехода  $\ell$  и полагая  $qN_d = qn = 1/\rho \cdot \mu_n$ , получаем:

$$w = a - \sqrt{2\varepsilon\varepsilon_0\rho\mu_n U_{3H}}.$$

Из условия  $w = 0$  легко найти напряжение отсечки:

$$U_{3H0} = a^2 / 2\varepsilon\varepsilon_0\rho\mu_n.$$

Запишем толщину канала в более компактной форме:

$$w = a(1 - \sqrt{U_{3H}/U_{3H0}}).$$

В рабочем режиме, когда  $U_{CH} \neq 0$  канал не является эквипотенциальным слоем; в разных точках  $X$  потенциал различен: он меняется от  $U_X = 0$  около истока до  $U_X = +U_{CH}$  около стока. Поэтому обратное напряжение на  $p-n$  переходах, увеличивается в направлении от истока к стоку. Соответственно ширина перехода в этом направлении растет, а канал сужается (рис. 1.3a).

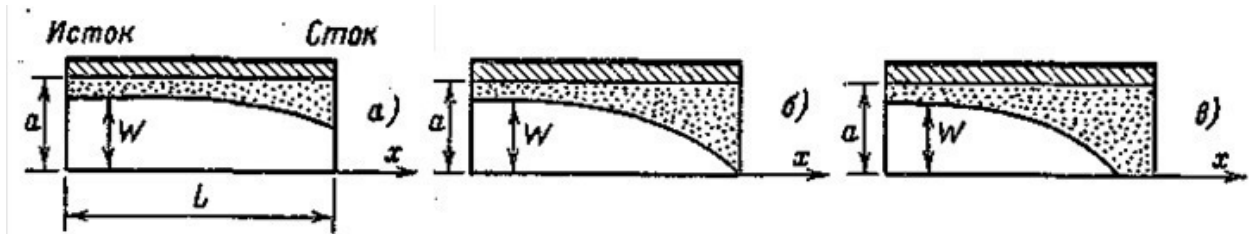


Рис. 1.3 – Сечение канала: а) ненасыщенного, б) на границе насыщения, в) при насыщенном режиме.

Около стока, в наиболее узком месте напряжение на переходе равно  $U_{3H} + U_{CH}$ . С ростом  $U_{CH}$  это напряжение, в конце концов, делается настолько большим, что канал почти смыкается (рис. 1.3б), но это не приводит к отсечке тока, так как само «смыкание» является следствием увеличения тока. Вместо отсечки тока происходит отсечка его приращений, т. е. резкое возрастание дифференциального сопротивления канала. Такой режим можно назвать насыщенным, а напряжение  $U_{CH}$ , при котором он наступает, – напряжением насыщения  $U_{CH} = U_{3H0} - U_{3H}$ .

Таким образом, в режиме насыщения происходит модуляция длины канала.

При расчете характеристик ПТ с управляемым  $p-n$  переходом следует учесть, что сопротивление канала меняется вдоль оси  $X$ , поскольку меняется толщина  $w$ . Падение напряжения на элементарном участке  $dx$  составляет

$$dU_x = I_C \cdot dR_x = I_C \frac{\rho \cdot dx}{L \cdot a} \left( 1 - \sqrt{\frac{U_{3H} + U_x}{U_{3H0}}} \right)^{-1}$$

Ток  $I_C$  остается неизменным в любом сечении. Поэтому, разделяя переменные и интегрируя обе части в пределах  $0 \div U_C$  и  $0 \div L$  соответственно, можно представить искомую функцию  $I_C(U_{CH})$  в следующем виде:

$$I_C = \frac{1}{R_{K0}} \left[ U_{CH} + \frac{2}{3} \cdot \frac{U_{3H}^{3/2} - (U_{3H} + U_{CH})^{3/2}}{U_{3H0}^{1/2}} \right], \quad (1.1)$$

где  $R_{K0} = \frac{\rho \cdot L}{a \cdot Z}$  – минимальное дифференциальное сопротивление канала или  $\partial U_{CH} / \partial I_C$  при  $U_{3H} = 0$  и  $U_{CH} = 0$ .

Ток стока насыщения получается равным:

$$I_{CH} = \frac{1}{R_{K0}} \left[ \frac{1}{3} U_{3H0} - U_{3H} \cdot \left( 1 - \frac{2}{3} \sqrt{\frac{U_{3H}}{U_{3H0}}} \right) \right], \quad (1.2)$$

при  $U_{CH} = U_{3H0} - U_{3H}$ .

Поскольку участок насыщения является основным рабочим участком, определим крутизну  $S$  именно в этой области. Дифференцируя выражение для тока стока по  $U_{3H}$  получаем:

$$S = -\frac{\partial I_{CH}}{\partial U_{3H}} = \frac{1}{R_{K0}} \cdot \left( 1 - \sqrt{\frac{U_{3H}}{U_{3H0}}} \right)$$

Семейство выходных статических вольтамперных характеристик транзистора  $I_C = f(U_{CH})$  показано на рис. 1.4а.

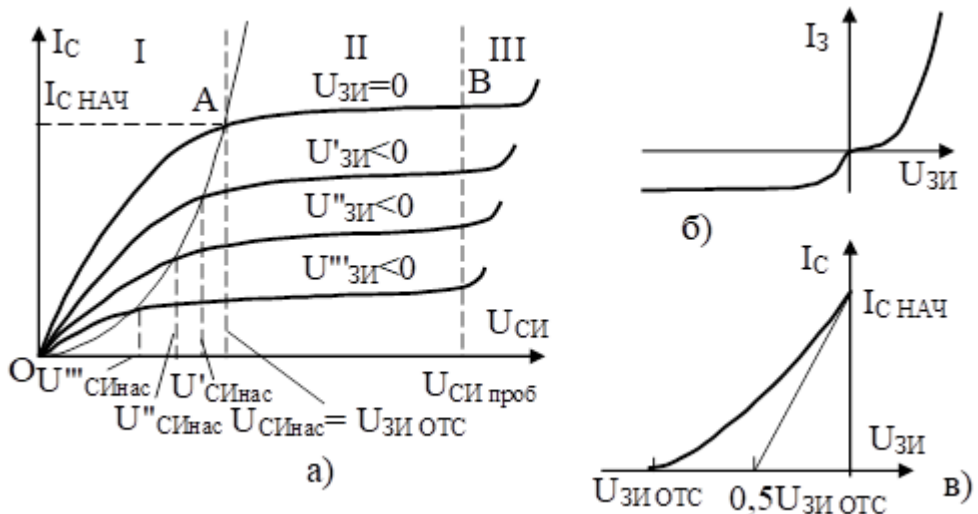


Рис. 1.4 – Выходные характеристики полевого транзистора с управляемым  $p-n$ -переходом (а); его входная характеристика (б) и характеристика передачи (сток-затворная) (в)

I - крутая область; II - пологая область или область насыщения; III - область пробоя.

При значительном увеличении напряжения  $U_{CI}$  у стокового конца наблюдается пробой  $p-n$ -перехода.

В выходных характеристиках полевого транзистора можно выделить две рабочие области: OA и AB. Область OA называют крутой областью характеристики; область AB – пологой или областью насыщения. В крутой области транзистор может быть использован как омическое управляемое напряжением сопротивления. В усилительных каскадах транзистор работает на пологом участке характеристики.

Входная характеристика полевого транзистора с управляющим  $p-n$ -переходом (рис. 1.4б) представляет собой обратную ветвь вольтамперной характеристики  $p-n$ -перехода. Хотя ток затвора несколько меняется при изменении напряжения  $U_{CI}$  и достигает наибольшего значения при условии короткого замыкания выводов истока и стока (ток утечки затвора  $I_{3ym}$ ), им в большинстве случаев можно пренебречь. Изменение напряжения  $U_{3H}$  не вызывает существенных изменений тока затвора, что характерно для обратного тока  $p-n$ -перехода, выполненного из кремния (арсенид галлия).

Выражение (1.2) хорошо аппроксимируется квадратичной зависимостью

$$I_C = I_{\text{ нач }} \left(1 - U_{3H} / U_{3H\text{ном}}\right)^2, \quad (1.3)$$

где  $I_{\text{ нач }}$  – начальный ток стока, под которым понимают ток при  $U_{3H} = 0$  и напряжении на стоке, превышающем напряжение насыщения:  $|U_{CI}| > |U_{CI\text{нас}}|$ .

Так как управление полевым транзистором осуществляется напряжением, то для количественной оценки управляющего действия затвора используют крутизну характеристики:

$$S = \frac{dI_C}{dU_{3H}} \Big|_{U_{3H}=\text{const}}$$

Крутизна характеристики достигает максимального значения  $S_{\text{ нач }}$  при  $U_{3H} = 0$ . Для определения значения крутизны  $S$  транзистора при любом напряжении  $U_{3H}$  продифференцируем выражение (1.3):

$$\frac{dI_C}{dU_{3H}} = \frac{2I_{\text{ нач }}}{U_{3H\text{ном}}} \left(1 - \frac{U_{3H}}{U_{3H\text{ном}}}\right), \quad (1.4)$$

При напряжении  $U_{3H} = 0$  выражение (1.4) примет вид

$$\frac{dI_C}{dU_{3H}} = S_{\text{ нач }} = \frac{2I_{\text{ нач }}}{U_{3H\text{ном}}}, \quad (1.5)$$

Подставив (1.5) в выражение (1.4), получим

$$S = S_{\text{ нач }} \left(1 - U_{3H} / U_{3H\text{ном}}\right).$$

Таким образом, крутизна характеристики полевого транзистора уменьшается при увеличении напряжения, приложенного к его затвору.

Начальное значение крутизны характеристики можно определить графоаналитическим способом. Для этого проведем касательную из точки  $U_{3II}=0$  к стоко-затворной характеристике (рис. 1.4в). Она отсечет на оси напряжений отрезок  $0,5 U_{3Homc}$ .

$$S_{ нач} = \frac{I_{C нач}}{0,5U_{3Homc}} .$$

Усилительные свойства полевых транзисторов характеризуются коэффициентом усиления:

$$\mu = -\frac{dU_{CH}}{dU_{3II}} \Big|_{I_c=const},$$

который связан с крутизной характеристики и внутренним сопротивлением уравнением  $\mu = SR_{CH\partial u\phi}$ ,

где  $R_{CH\partial u\phi} = \frac{dU_{CH}}{dI_C} \Big|_{U_{3II}=const}$  – дифференциальное внутреннее сопротивление транзистора.

Так же, как и у биполярных транзисторов, у полевых транзисторов различают режимы большого и малого сигнала. Режим большого сигнала чаще всего рассчитывают с помощью входных и выходных характеристик транзистора. Для анализа режима малого сигнала часто применяют малосигнальные эквивалентные схемы (рис. 1.5). Так как сопротивления закрытых переходов  $R_{3C}$ ,  $R_{3II}$  у кремниевых полевых транзисторов велики (десятки – сотни МОм), их в большинстве случаев можно не учитывать.

Типовые значения параметров кремниевых транзисторов, входящих в эквивалентную схему:  $S = 0,3 \div 3$  мА/В;  $R_3 = 10^{10}$  Ом;  $R_{CH\partial u\phi} = 0,1 \div 1$  МОм;  $R_K = 50 \div 800$  Ом;  $C_3 = 0,2 \div 10$  пФ.

Наличие емкостей у полевого транзистора, а также конечная скорость движения носителей заряда в канале определяют инерционные свойства полевых транзисторов. Инерционность транзистора в первом приближении учитывают путем введения операторной крутизны характеристики

$$S(p) = S / (1 + p\tau_3),$$

где  $\tau_3 \approx R_K C_3$ ;  $\tau_3 = 1/\omega_3$  – предельная частота, определенная на уровне 0,707 статического значения крутизны характеристики.

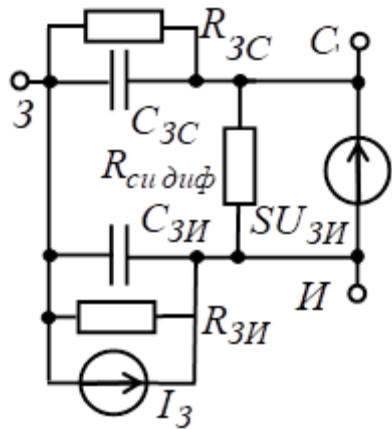


Рис. 1.5 – Полная эквивалентная схема полевого транзистора с управляемым *p-n*-переходом

$R_{си\,диф}$  – дифференциальное сопротивление канала;  $I_3$  – ток затвора, когда *p-n*-переход заперт;  $C_{3C}$ ,  $C_{3C}$  – емкости между соответствующими электродами;  $R_{3C}$ ,  $R_{3И}$  – сопротивления перехода между затвором и соответственно стоком и истоком; эквивалентная емкость затвора  $C_3 \approx C_{3C} + C_{3И}$ .

## 2.2. Полевые транзисторы с изолированным затвором

Спецификой унитронов является максимальная проводимость канала при нулевом смещении на затворе. С ростом смещения по модулю, проводимость канала уменьшается вплоть до полной отсечки. Смещение может иметь только одну полярность, соответствующую отсутствию инжекции через переход, затвор-исток.

У полевых транзисторов с изолированным затвором последний представляет собой металлический слой, изолированный от полупроводника тонкой диэлектрической пленкой. Наличие диэлектрика снимает ограничение на полярность смещения: она может быть, как положительной, так и отрицательной, причем в обоих случаях ток затвора отсутствует.

Транзисторы с изолированным затвором имеют классическую структуру металл—диэлектрик—полупроводник. Их называют МДП-транзисторами. В частном случае, если диэлектриком является окисел (двуокись кремния  $SiO_2$ ), используется название МОП - транзисторы. Две основные структуры МДП-транзисторов показаны на рис. 1.6 $a$ ,  $b$ .

Первая из них (рис. 1.6 $a$ ) характеризуется наличием специально созданного (собственного или встроенного) канала, проводимость которого модулируется смещением на затворе. В случае канала *p*-типа, в режиме обогащения, положительный потенциал  $U_{3И}$  «отталкивает» электроны из канала, а в режиме обеднения – отрицательный «притягивает» их. Соответственно проводимость канала либо уменьшается, либо увеличивается по сравнению с ее значением при нулевом смещении.

Вторая структура (рис. 1.6 б) характеризуется отсутствием структурно выраженного канала. Поэтому при нулевом смещении на затворе проводимость между истоком и стоком отсутствует: исток и сток образуют с подложкой встречно включенные *p-n* переходы. Тем более не может быть проводимости между истоком и стоком при положительной полярности смещения, когда к поверхности полупроводника притягиваются дополнительные электроны.

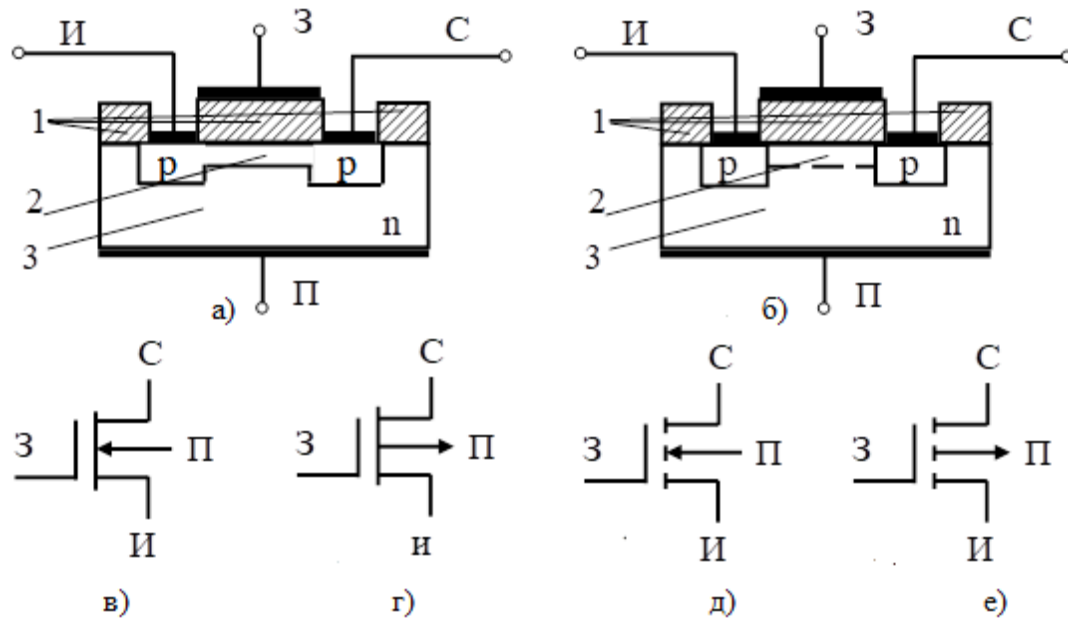


Рис. 1.6 – Структуры МДП-транзисторов:

*a)* транзистор с индуцированным каналом *p*-типа; *б)* транзистор со встроенным каналом *p*-типа (1 – диэлектрик; 2 – канал; 3 – подложка *n*-типа); их обозначения: *в)* с индуцированным каналом *n*-типа; *г)* с индуцированным каналом *p*-типа; *д)* с встроенным каналом *n*-типа; *е)* с встроенным каналом *p*-типа.

Однако при достаточно большом отрицательном смещении, когда приповерхностный слой сильно обогащается притянутыми дырками, между истоком и стоком образуется своего рода индуцированный (наведенный полем) канал, по которому может протекать ток. В настоящее время транзисторы с индуцированным каналом имеют наибольшее распространение, главным образом из-за простоты их изготовления.

Оба типа МДП-транзисторов могут изготавляться как с *p*, так и с *n*-каналом, что сильно расширяет возможности их схемного применения.

На рис. 1.6 *в*, *г*, *д*, *е* приведены графические изображения полевых транзисторов с изолированным затвором.

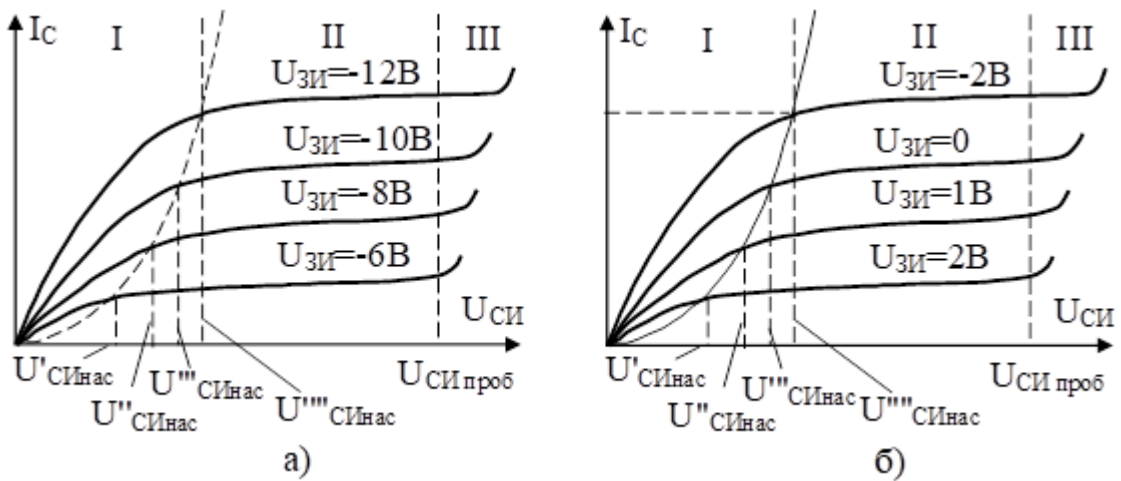


Рис. 1.7 – Выходные характеристики МДП-транзисторов с индуцированным (б) и встроенным (в) каналами

Выходные характеристики МДП-транзисторов аналогичны характеристикам полевых транзисторов с управляемым  $p-n$ -переходом (рис. 1.7а, б). В них можно выделить крутую и пологую область, а также область пробоя. В крутой области I МДП-транзистор может работать как электрически управляемое сопротивление. Пологая область II обычно используется при построении усилительных каскадов.

Передаточные характеристики МДП-транзисторов с встроенным каналом и индуцированным каналом приведены на рис. 1.8.

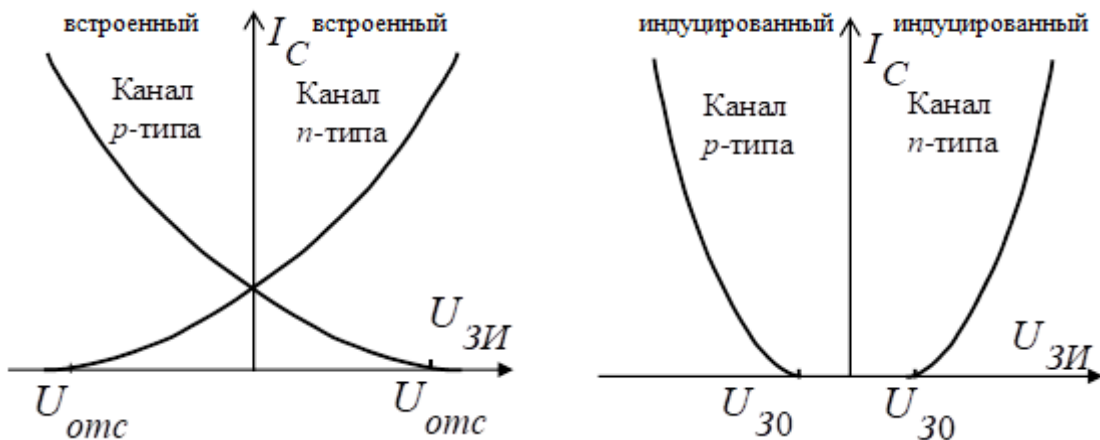


Рис. 1.8 – Передаточные характеристики МДП-транзисторов с встроенным каналом а) и индуцированным каналом б)

Для улучшения переходных и частотных свойств МДП-транзистора нужно в первую очередь уменьшать длину канала, а также увеличивать подвижность носителей заряда. При обычной длине канала 5÷10 мкм граничная частота крутизны лежит в пределах 100÷300 МГц. Однако при ультракоротких (доли микрона) каналах удается обеспечить граничные частоты до 30÷80 ГГц и выше.

## 2. Описание лабораторного макета

Для исследования статических вольтамперных характеристик полевых транзисторов в схеме общим истоком используется схема, изображенная в правой части лабораторного макета (рис. 2.1).

С помощью переключателя П7 выбирается исследуемый транзистор Т1, Т2, Т3.

Управляющее напряжение на затворе транзистора задается делителем  $R_{d1}$ ,  $R_{d2}$ ,  $R_{d3}$  и его можно установить с помощью переключателя П8 (грубо) и переменного резистора  $R_{d2}$  (плавно).

Изменять величину стокового напряжения можно переключателем П6, меняя величину резистора ( $R_{C1} \div R_{C10}$ ) в цепи стока. Напряжение на стоке транзистора измеряется осциллографом, а ток, протекающий через транзистор, стрелочным миллиамперметром, включаемым в цепь стока транзистора переключателем П5. Чувствительность прибора устанавливается переключателем П4.

Перечень типов транзисторов, исследуемых при проведении лабораторной работы, приведен в таблице 2.1.

Таблица 2.1

Наименование	Т1	Т2	Т3
Тип	КП303Д	КП305	BS170

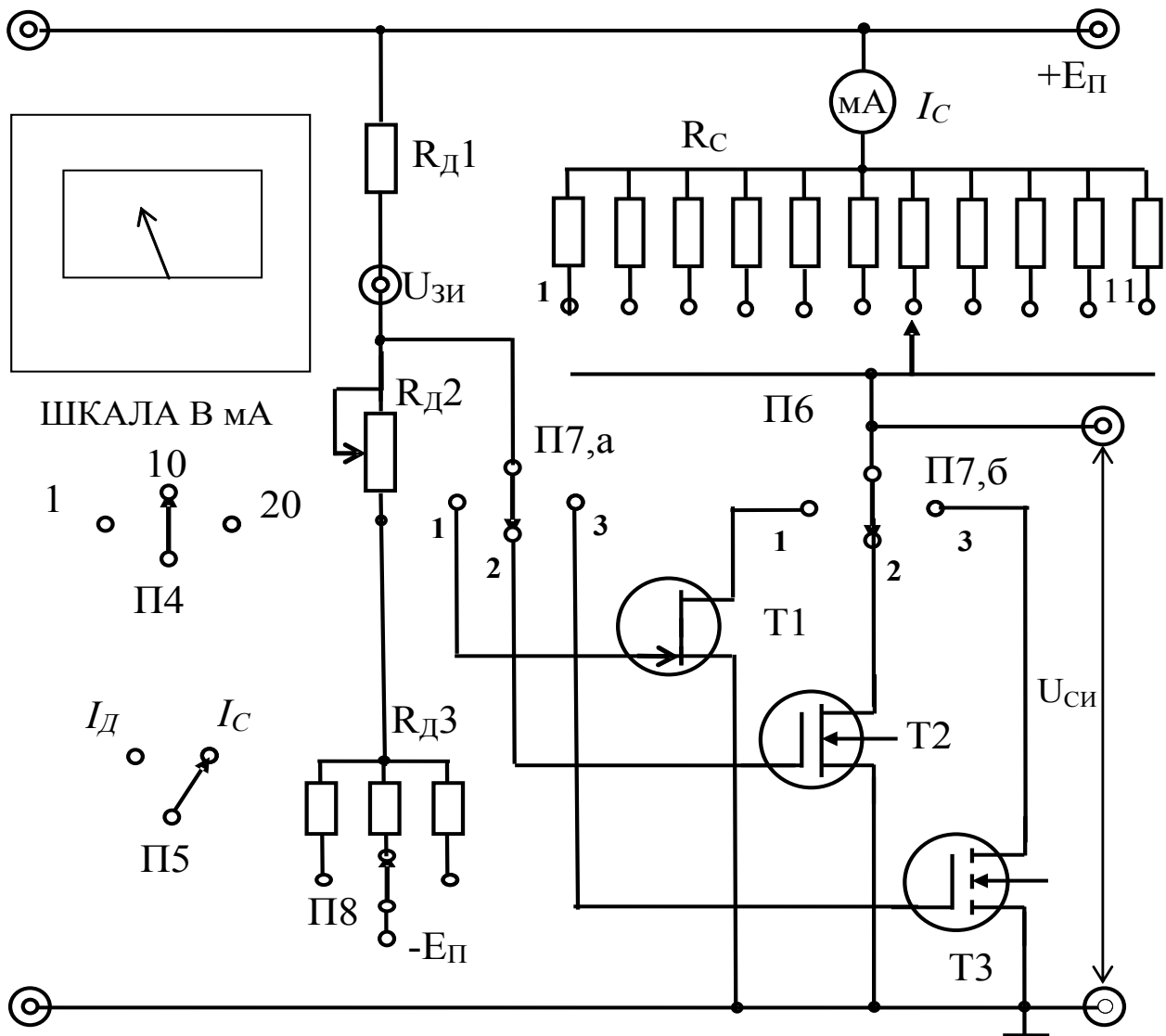


Рис. 2.1 – Лицевая панель макета для исследования полевых транзисторов.

### 3. Порядок выполнения работы

Для исследования передаточных и выходных вольтамперных характеристик полевых транзисторов в схеме с общим истоком необходимо:

- 1) Включить источник питания макета;
- 2) Переключатель  $P_5$  установить в положение для измерения тока стока  $I_C$ ;
- 3) Переключатель  $P_7$  установить в положение 1, подключив тем самым полевой транзистор  $T_1$  с управляемым  $p-n$ -переходом и каналом  $n$ -типа.
- 4) Вход осциллографа присоединить к затвору исследуемого транзистора  $T_1$  для измерения постоянного напряжения на затворе  $U_{zi}$ , а второй вход осциллографа присоединить к стоку транзистора  $T_1$  для измерения постоянного напряжения  $U_{ci}$ ;

5) С помощью переключателя П8 (грубо) и переменного резистора  $R_{d2}$  (плавно) установить напряжение на затворе равное 0. Переключатель П6 установить в положение 10 (установив тем самым высокое напряжение  $U_{CI}$ ) и измерить напряжение  $U_{CI}$ .

6) Снять передаточную (сток-затворную) характеристику транзистора  $I_C = f(U_{3II})$ , изменяя напряжение на затворе с интервалом 0,5 В и измеряя ток стока  $I_C$ , до тех пор, пока транзистор не закроется. Результаты измерений занесите в таблицу 3.1. вида:

Таблица 3.1

$U_{3II}$ , В	0	-0,5	-1	-1,5	-2	-2,5	-3	-3,5	-4
$I_C$ , мА									

7) Построить передаточную вольтамперную характеристику полевого транзистора

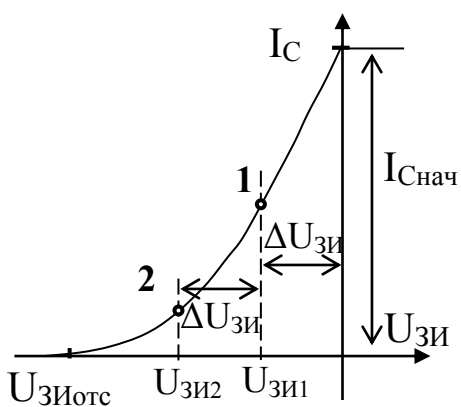


Рис. 4.1 – Передаточная характеристика полевого транзистора с управляемым  $p-n$ -переходом и каналом  $n$  – типа.

T1. По построенному графику (см. рис. 4.1) выберите точки 1 и 2, которым соответствуют напряжения  $U_{3II1}$  и  $U_{3II2}$  при которых приращения  $\Delta U_{3II}$  были бы одинаковыми и были равны примерно 1 В или 0,5 В.

8) Изменяя переключателем П6 резисторы  $R_{C1} \div R_{C10}$  и тем самым величину напряжения  $U_{CI}$ , снять выходные характеристики транзистора  $I_C = f(U_{3II})$  при напряжениях на затворе равных  $U_{3II} = 0$  В,  $U_{3II1}$  и  $U_{3II2}$ . Результаты измерений занесите в таблицу 3.2.

Таблица 3.2

Положение переключателя П6	1	2	3	4	5	6	7	8	9	10	Примечание
$I_C$ , мА											$U_{3II} = 0$ В
$U_{CI}$ , В											
$I_C$ , мА											$U_{3II1} =$ _
$U_{CI}$ , В											
$I_C$ , мА											$U_{3II2} =$ _
$U_{CI}$ , В											

9. По построенным графикам определить при  $U_{CI}=5$  В и  $U_{3II}$  крутизну характеристики и дифференциальное сопротивление транзистора:

$$S = \frac{dI_C}{dU_{3H}} \Big|_{U_{CI}=\text{const}}$$

$$R_{CI\text{diff}} = \frac{dU_{CI}}{dI_C} \Big|_{U_{3H}=\text{const}}.$$

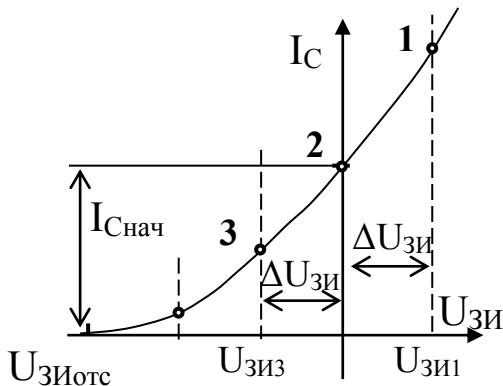


Рис. 4.2 – Передаточная характеристика МДП-транзистора с встроенным каналом  $n$  – типа.

10) Переключатель П7 установить в положение 2, подключив тем самым полевой МДП-транзистор T2 с встроенным каналом  $n$  – типа.

11) Переключатель П6 установить в положение 10 (установив тем самым высокое напряжение  $U_{CI}$ ) и измерить напряжение  $U_{CI}$ .

Снять передаточную характеристику транзистора  $I_C=f(U_{3H})$ , изменяя напряжение на затворе и измеряя ток стока  $I_C$  до тех пор, пока ток стока транзистора не достигнет значения

$15 \div 18$  мА, если это возможно. Результаты измерений занесите в таблицу 3.3

Таблица 3.3

$U_{3H}$ , В									
$I_C$ , мА									

По построенному графику (см. рис. 4.2) выберите точки 1 и 3, которым соответствуют напряжения  $U_{3II}$  и  $U_{3IZ}$  при которых приращения  $\Delta U_{3H}$  были бы одинаковыми и были равны примерно 1 В или 0,5 В.

12) Изменяя переключателем П4 резисторы  $R_{C1} \div R_{C10}$  и тем самым величину напряжения  $U_{CI}$ , снять выходные характеристики транзистора  $I_C=f(U_{CI})$  при напряжениях на затворе равных  $U_{3H}=0$  В,  $U_{3II}$  и  $U_{3IZ}$ . Результаты измерений занесите в таблицу 3.2.

13) По построенным выходным характеристикам транзистора  $I_C=f(U_{CI})$  определить крутизну для точки с координатами  $U_{3H}=0$  В и  $U_{CI}=5$  В. Построить зависимость

$$R_{CI\text{diff}} = \frac{dU_{CI}}{dI_C} = f(U_{CI}) \text{ при } U_{3H} = \underline{\quad} \text{ В.}$$

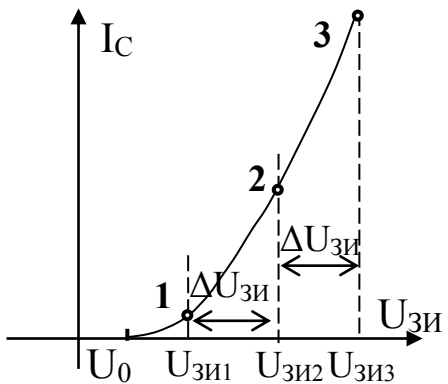


Рис. 4.3 – Передаточная характеристика МДП-транзистора с индуцированным каналом  $n$  – типа.

По построенному графику (см. рис. 4.3) выберите точки 1, 2 и 3, которым соответствуют напряжения  $U_{3i1}$ ,  $U_{3i2}$  и при которых приращения были одинаковыми.

16) Изменяя переключателем П6 резисторы и тем самым величину напряжения,  $U_{ci}$ , снять выходные характеристики транзистора при напряжениях на затворе равных  $U_{3i1}$ ,  $U_{3i2}$  и  $U_{3i3}$ . Результаты измерений занести в таблицу 3.2.

17) По построенным выходным характеристикам транзистора Т3  $I_C = f(U_{ci})$  определить крутизну и дифференциальное сопротивление транзистора для точки с координатами  $U_{3i2}$  и  $U_{ci} = 5$  В.

18) Выключить источник питания макета.

19) Оформить отчет и сделать выводы по работе.

14) Переключатель П7 установить в положение 3, подключив тем самым полевой МДП-транзистор Т3 с индуцированным каналом  $n$ -типа.

15) Переключатель П6 установить в положение 10 (установив тем самым высокое напряжение  $U_{ci}$ ) и измерить напряжение  $U_{ci}$ .

Снять передаточную характеристику транзистора  $I_C = f(U_{3i})$ , изменяя напряжение на затворе и измерять ток стока, пока он не достигнет значения  $15 \div 18$  мА. Результаты измерений занесите в таблицу 3.3.

## СПИСОК ЛИТЕРАТУРЫ.

1. Ицкович В.М. Электроника. Учебное пособие. – Томск: Томский государственный университет, 2006. – 360 с.
2. Степаненко И.П. Основы микроэлектроники: Учебное пособие для вузов. – 2-е изд., перераб. и доп. - М.: Лаборатория Базовых Знаний, 2001.- 488 с.